

УДК 666.3

СТРУКТУРА И ЭЛЕКТРОПРОВОДНОСТЬ ТВЕРДЫХ РАСТВОРОВ $(La_{0.9}Sr_{0.1})[(Ga_{1-x}Cr_x)_{0.8}Mg_{0.2}]O_{3-\delta}$ ($x = 0\text{--}0.35$)

© 2006 г. Е. Д. Политова*, А. К. Аветисов*, Р. Р. Зиннуров**, Г. М. Калева*,
В. З. Мордкович**, А. В. Мосунов*, С. Ю. Стефанович*

*Научно-исследовательский физико-химический институт им. Л. Я. Карпова, Москва

**Центр исследований и разработок "ЮКОС", Москва

Поступила в редакцию 29.06.2005 г.

Синтезированы перовскитоподобные керамические твердые растворы $(La_{0.9}Sr_{0.1})[(Ga_{1-x}Cr_x)_{0.8}Mg_{0.2}]O_{3-\delta}$ ($x = 0\text{--}0.35$). Изучены параметры структуры, микроструктура и электропроводящие свойства керамики. Результатом катионных замещений является сжатие решетки с ростом x , повышение суммарной электропроводности вследствие усиления электронной составляющей при предполагаемом снижении ионной составляющей.

ВВЕДЕНИЕ

Реактор конверсии метана, основанный на принципе выделения кислорода воздуха через смешанопроводящую оксидную мембрану, предложен в 1988 г. [1]. Начиная с 1995 г., широким фронтом ведутся научно-исследовательские и конструкторские работы, направленные на создание новой мембранных технологий получения синтез-газа [2].

В качестве кислородселективной мембранны можно использовать ионпроводящие оксиды, однако преимуществом мембранны, являющейся смешанным ионно-электронным проводником, является возможность проведения реакции без использования внешнего источника тока. Согласно предварительным оценкам, использование мембранный технологии в промышленных масштабах позволит сократить стоимость производства синтез-газа до 30% в сравнении с известными используемыми в промышленности методами [2].

Оксидный материал мембранны является ключевым звеном новой технологии. Для практического использования необходимы материалы, способные длительное время сохранять структурную и механическую стабильность в жестких условиях реакции конверсии метана: при температурах выше 800°C и перепаде парциального давления кислорода от окислительной атмосферы (воздух) на одной стороне мембранны до восстановительной (метан) на другой. Для обеспечения интенсивного транспорта кислорода оксиды должны иметь высокие сопоставимые значения ионной и электронной составляющих проводимости ($\geq 0.1\text{--}1 \text{ См}/\text{см}$). Необходима также совместимость материала оксида с другими компонентами реактора по коэффициенту термического расширения.

Условием обеспечения высокой ионной проводимости является наличие незанятых позиций в анионной подрешетке, энергетически эквивалентных занятым позициям, по которым миграция ионов кислорода осуществляется с достаточно малой энергией активации (<1 эВ) [3]. Наиболее перспективными с этой точки зрения считаются структуры флюорита, перовскита и производные от структуры перовскита. Относительно простая структура перовскита ABO_3 наиболее интересна в плане создания оксидов с высокой ионно-электронной проводимостью. Вариации обеих составляющих проводимости обеспечиваются гетеровалентными замещениями катионов A и B.

В течение последних 10 лет наиболее интенсивно изучали свойства Со- и Fe-содержащих перовскитов $(La,A)CoO_y$ и $(La,A)FeO_y$ с целью создания мембранных материалов для сепарации кислорода [4]. Однако, несмотря на высокую ионную проводимость Со-содержащих составов, достигающую 1 См/см выше 800°C, высокие значения коэффициента термического расширения ($>25 \times 10^{-6} \text{ K}^{-1}$) и низкая термодинамическая стабильность определяют низкую химическую и механическую стабильность указанных оксидов в условиях реакции конверсии метана. Так, воздействие восстановительной атмосферы сопровождается возникновением значительной нестехиометрии по кислороду, вследствие чего наблюдается трансформация структуры перовскита в перовскитоподобную, но более компактную структуру браунмиллерита, а затем – разложение материала на многофазную смесь и сегрегация частиц кобальта на поверхности мембранны [5].

С целью повышения стабильности ферритов-кобальтидов изучали влияние дополнительных замещений катионов A и B катионами со стабиль-

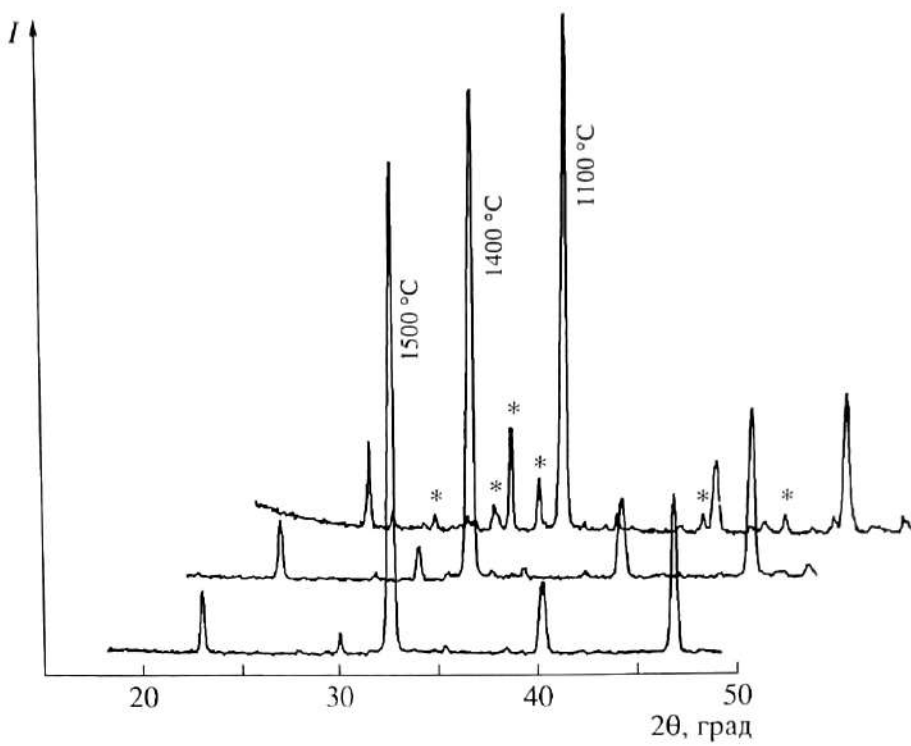


Рис. 1. Дифрактограммы образцов с $x = 0.35$, полученных при $t_1 = 1100^\circ\text{C}$ (5 ч), $t_2 = 1400^\circ\text{C}$ (4 ч) и $t_3 = 1500^\circ\text{C}$ (4 ч) (пики примесных фаз отмечены звездочками).

ной степенью окисления – Ba^{2+} , Ga^{3+} , Zr^{4+} [6–10]. Указанные замещения улучшили стабильность оксидов, однако перспективные материалы на основе кобальтитов до сих пор не созданы.

Высокая проводимость по кислороду, сочетающаяся со стабильностью в широком интервале парциальных давлений кислорода, обнаружена у оксидов на основе галлата лантана ($\text{La}, \text{Sr})(\text{Ga}, \text{Mg})\text{O}_y$ [11–13]. На примере отдельных составов было также показано, что при дополнительном модифицировании ионпроводящих оксидов на основе галлата лантана катионами переходных элементов (Fe, Ni, Co, Cr) можно получать смешанопроводящие оксиды с высокими проводящими характеристиками [14–18]. Керамический твердый раствор $(\text{La}_{0.9}\text{Sr}_{0.1})(\text{Ga}_{0.8}\text{Mg}_{0.2})\text{O}_{2.85}$ проявляет наиболее высокую ионную проводимость по кислороду при температурах выше 800°C [11–13, 19–21]. Нами проведены исследования твердых растворов на основе этого состава, в которых катионы галлия замещали катионы железа, никеля или марганца [22–26]. Установлено формирование твердых растворов во всей области концентраций при замещении катионов галлия катионами железа [23–25] или марганца [26]. При введении никеля твердые растворы образуются в ограниченной области концентраций, и при содержании никеля более 40 ат. % формируется многофазная смесь [24, 25]. Для изученных систем характерно повышение электронной составляющей проводимости при введении катионов переходных элементов.

Цель данной работы – исследование формирования твердых растворов на основе гетерозамещенно-

го галлата лантана со структурой типа перовскита $(\text{La}_{0.9}\text{Sr}_{0.1})[(\text{Ga}_{1-x}\text{Cr}_x)_{0.8}\text{Mg}_{0.2}]\text{O}_{3-\delta}$, изучение особенностей изменения параметров структуры, микроструктуры и электрических транспортных свойств при замещении части галлия катионами хрома.

Учитывая результаты [24–26], согласно которым электронная составляющая проводимости становится сравнимой по величине с ионной составляющей при замещении $\sim 30\text{--}40\%$ катионов галлия, в данной работе изучены составы с $x = 0\text{--}0.35$. Проведен синтез керамик, определен их фазовый состав, параметры структуры, микроструктура, проведены измерения электропроводности на постоянном и переменном токе в широком интервале температур, а также – при смене окислительной атмосферы на восстановительную.

ЭКСПЕРИМЕНТАЛЬНАЯ ЧАСТЬ

Твердые растворы $(\text{La}_{0.9}\text{Sr}_{0.1})[(\text{Ga}_{1-x}\text{Cr}_x)_{0.8}\text{Mg}_{0.2}]\text{O}_{3-\delta}$ с $x = 0\text{--}0.35$ синтезировали методом твердофазного синтеза в интервале температур $900\text{--}1100^\circ\text{C}$ с промежуточными перетираниями шихты, образцы спекали при $1400\text{--}1500^\circ\text{C}$ на воздухе. Фазовый состав и параметры структуры контролировали методом рентгенофазового анализа (ДРОН-3М). Электропроводность измеряли в интервале температур до 1200 K на частоте 1 кГц и на постоянном токе по четырех- и двухконтактной схеме соответственно. Для измерений использовали образцы керамик в виде параллелепипедов размером $3 \times 3 \times 9\text{ mm}$, на торцевые грани которых наносили

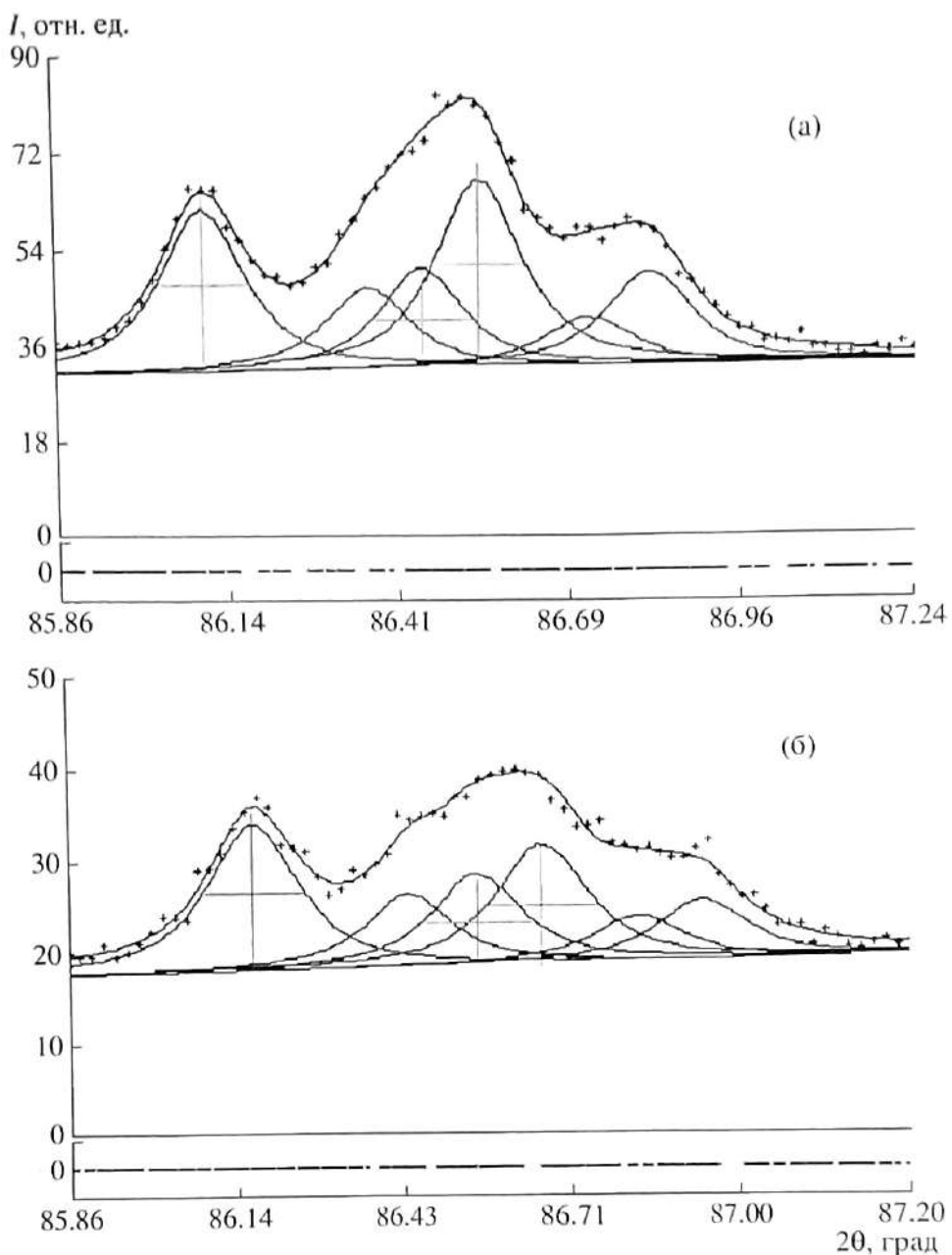


Рис. 2. Разложение дифракционного пика 222 кубической ячейки на составляющие для образцов $(La_{0.9}Sr_{0.1})[(Ga_{1-x}Cr_x)_{0.8}Mg_{0.2}]O_{3-\delta}$ с $x = 0$ (а), 0.075 (б).

платиновые контакты путем вжигания при 800°C платиносодержащей пасты.

РЕЗУЛЬТАТЫ И ИХ ОБСУЖДЕНИЕ

Методом твердофазного синтеза получены однодофазные керамические образцы со структурой перовскита, что подтверждается характерным видом дифрактограмм (рис. 1). Анализ разложения структурно-чувствительных дифракционных пиков указывает на моноклинную симметрию ячейки перовскита (рис. 2). При повышении содержания хрома наблюдается уменьшение среднего параметра решетки $\bar{a} = V^{1/3}$. Это позволяет сделать заключение о замещении катионов галлия катионами хрома с меньшим ионным радиусом, что

возможно только в том случае, если степень окисления катионов хрома больше 3+ ($R_{Ga^{3+}} = 0.76 \text{ \AA}$, $R_{Cr^{3+}} = 0.76 \text{ \AA}$, $R_{Cr^{4+}} = 0.69 \text{ \AA}$, $R_{Cr^{5+}} = 0.63 \text{ \AA}$) (рис. 3).

Согласно данным электронной микроскопии, при повышении содержания хрома имеет место уменьшение размера зерен керамики от 2–10 мкм (при $x = 0$) до 1–3 мкм (при $x = 0.35$). Приведенные в таблице составы отдельных зерен, полученные методом энергодисперсионного анализа, подтверждают соответствие среднего состава зерен номинальному, однако были обнаружены отдельные зерна, состав которых соответствует диэлектрической фазе $La_2Sr_2O_5$.

Исследованы диэлектрические и электропроводящие свойства керамик твердых растворов

$(La, Sr)(Ga, Mg, Cr)O_y$. По данным измерений электропроводности образцов на переменном токе построены зависимости логарифма проводимости от обратной температуры, указывающие на типичное активационное поведение типа Аррениусского при температурах выше $\approx 150^\circ\text{C}$ (рис. 4). Как видно из графиков, введение хрома сопровождается значительным ростом проводимости при низких температурах и слабовыраженным при высоких температурах. Отметим также, что в образцах с малым содержанием хрома рост проводимости в области низких температур выражен сильнее, чем у образцов с $x > 0.1$ (рис. 5). В то же время энергия активации понижается от 0.8 до 0.4 эВ при увеличении x от 0 до 0.35.

Величина проводимости, измеренной на постоянном токе, при комнатной температуре превышает $1 \times 10^{-3} \text{ См}/\text{см}$ для образцов с $x = 0.35$ и не может иметь ионный характер, так как по крайней мере при комнатной температуре ионная составляющая проводимости полностью блокируется платиновыми электродами. Таким образом, эти данные представляют электронную составляющую σ_{el} . Значение проводимости при 900°C превышает $0.10 \text{ См}/\text{см}$, однако при такой высокой температуре уже нельзя исключить вклада ион-

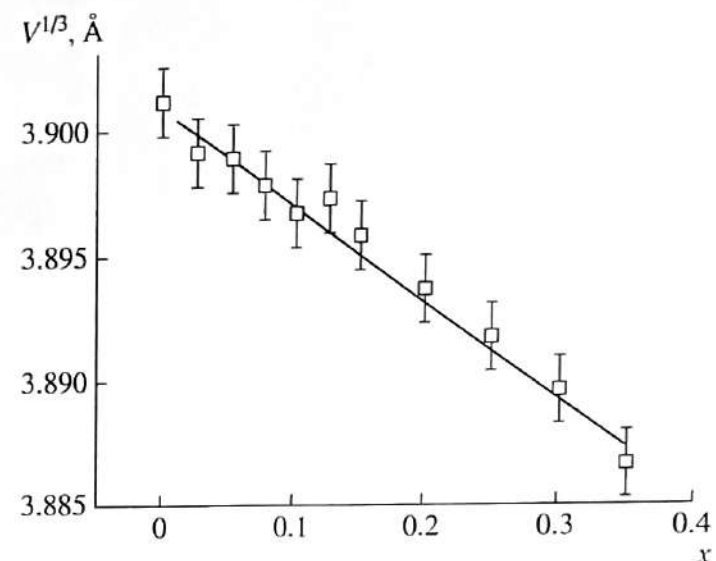


Рис. 3. Концентрационная зависимость среднего параметра ячейки $\bar{a} = V^{1/3}$ для твердых растворов $La_{0.9}Sr_{0.1}(Ga_{1-x}Cr_x)_{0.8}Mg_{0.2}O_y$.

ной составляющей и истинное значение σ_{el} может быть ниже.

Результаты анализа состава керамик $(La_{0.9}Sr_{0.1})[(Ga_{1-x}Cr_x)_{0.8}Mg_{0.2}]O_{3-\delta}$

x	Диаметр (площадь) зерна, мкм (мкм^2)	Содержание элементов (± 0.02)					Номинальный состав**	
		La	Sr	Ga	Cr	Mg	Ga	Cr
0	15	0.88	0.12	0.83	0.00	0.17	0.8	0
	2	0.87	0.13	0.75	0.00	0.25		
0.12	2	0.91	0.09	0.60	0.19	0.21	0.7	0.1
	3	0.87	0.13	0.64	0.09	0.27		
0.2	3	0.87	0.13	0.63	0.11	0.26		
	4	0.91	0.09	0.75	0.10	0.15		
0.2	1	0.92	0.08	0.53	0.24	0.23	0.64	0.16
	3*	0.45	0.40	0.11	0.02	0.05		
0.35	4	0.90	0.10	0.38	0.26	0.36		
	1 \times 2	0.88	0.12	0.72	0.14	0.14		
0.35	1 \times 2	0.90	0.10	0.74	0.06	0.20		
	1.5	0.87	0.13	0.72	0.14	0.14	0.52	0.28
0.35	1	0.92	0.08	0.32	0.52	0.16		
	2 \times 3	0.90	0.10	0.70	0.15	0.15		
0.35	1	0.92	0.08	0.20	0.67	0.13		
	0.5 \times 5	0.85	0.15	0.45	0.25	0.30		
0.35	3	0.88	0.12	0.69	0.15	0.16		
	1	0.87	0.13	0.73	0.12	0.15		
0.35	2	0.89	0.11	0.62	0.20	0.18		

* Зерно фазы $La_2Sr_2O_5$.

** La - 0.9, Sr - 0.1, Mg - 0.2.

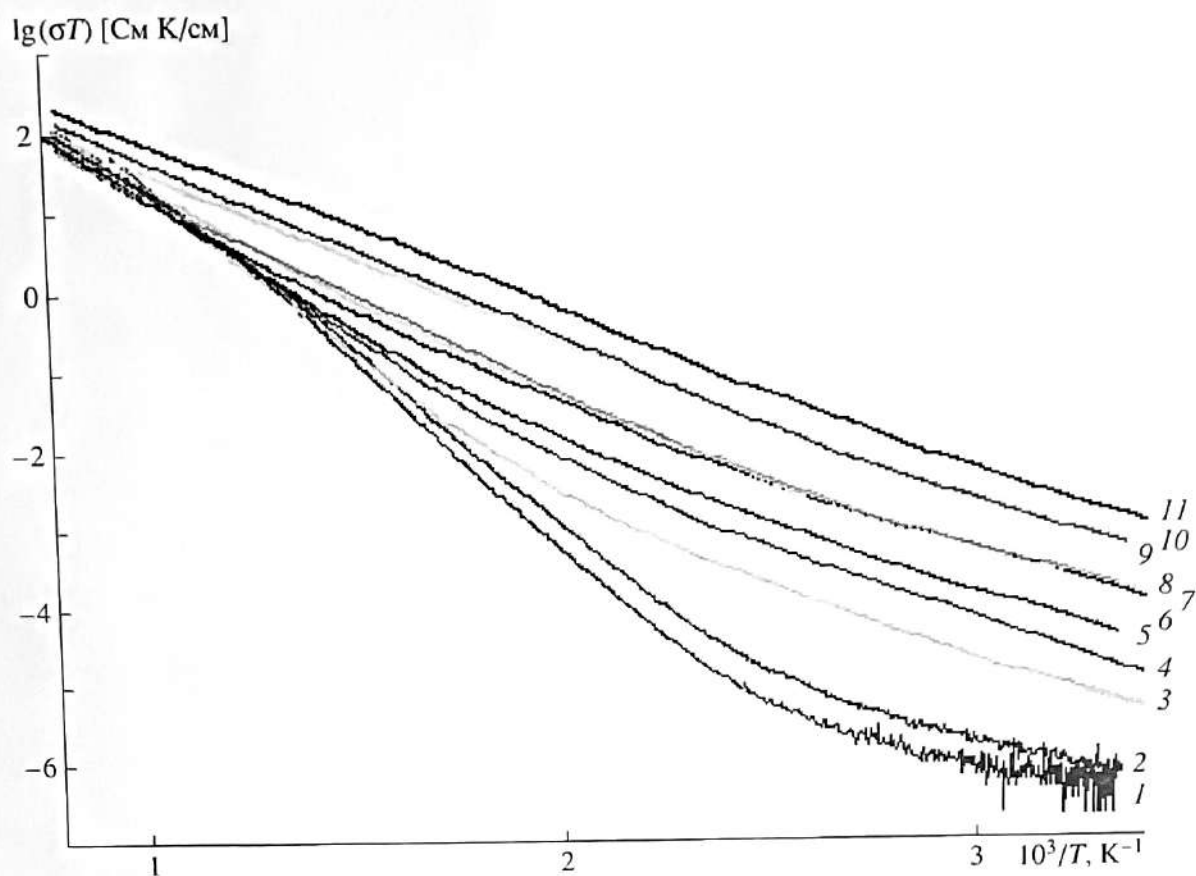


Рис. 4. Температурные зависимости проводимости образцов $(\text{La}_{0.9}\text{Sr}_{0.1})[(\text{Ga}_{1-x}\text{Cr}_x)_{0.8}\text{Mg}_{0.2}]\text{O}_{3-\delta}$ с различным содержанием хрома: $x = 0$ (1), 0.025 (2), 0.05 (3), 0.075 (4), 0.10 (5), 0.125 (6), 0.15 (7), 0.20 (8), 0.25 (9), 0.30 (10), 0.35 (11), измеренные на частоте 1 кГц.

На дилатограммах нагрева образцов на воздухе можно выделить два участка. Первый линейный участок представляет собой обычное температурное расширение материала. При 450–500°C начинается процесс десорбции кислорода и устанавливается термодинамическое равновесие между кислородом в газовой фазе и в образце. На втором участке имеет место наложение эффекта линейного температурного расширения и эффекта, вызванного десорбией кислорода из образца. Десорбция кислорода сопровождается образованием вакансий в подрешетке кислорода и вызывает дополнительное расширение образца, объясняющееся тем, что увеличение дефицита кислорода сопровождается расширением перовскитной решетки. Значение коэффициента термического расширения $\beta = d(\Delta L/L)dT$ практически не меняется при низких температурах ($\beta = 12 \times 10^{-6} \text{ K}^{-1}$ при 450°C), повышаясь от $\beta = 14 \times 10^{-6} \text{ K}^{-1}$ в образце с $x = 0$ до $\beta = 21 \times 10^{-6} \text{ K}^{-1}$ для образца с $x = 0.35$ при 850°C. Таким образом, по данным дилатометрии, концентрация кислородных вакансий повышается в изученных образцах при температурах выше 450°C.

Полученные данные по релаксации электропроводности, измеренной на постоянном токе, позволяют сделать заключение о механизме ион-

ной проводимости в изученных керамиках и оценить возможное изменение ионной составляющей проводимости (рис. 6). Согласно полученным данным, электронная проводимость растет при смене инертной атмосферы на окислительную, что указывает на *p*-тип электронной проводимости. Следует отметить, что ионная составляющая проводимости, наоборот, уменьшается при снижении числа вакансий кислорода.

Рис. 6 дает также представление об увеличении времени достижения равновесного значения электропроводности при изменении состава керамик: от ≈20 мин для образца с $x = 0.05$ до более 100 мин для образцов с $x > 0.15$. Таким образом, ионный перенос замедляется в керамиках с $x > 0.15$, что выражается в более низких значениях коэффициента диффузии, оцененного по этим кривым.

Как следует из концентрационной зависимости полной проводимости σ (рис. 5), значение σ повышается более, чем на 4 порядка при комнатной температуре и слабо меняется выше 700°C. Учитывая значительный рост электронной составляющей, понижение коэффициента диффузии кислорода, а также вытекающее из концентрационной зависимости параметра решетки заключение об уменьшении концентрации вакансий кислорода

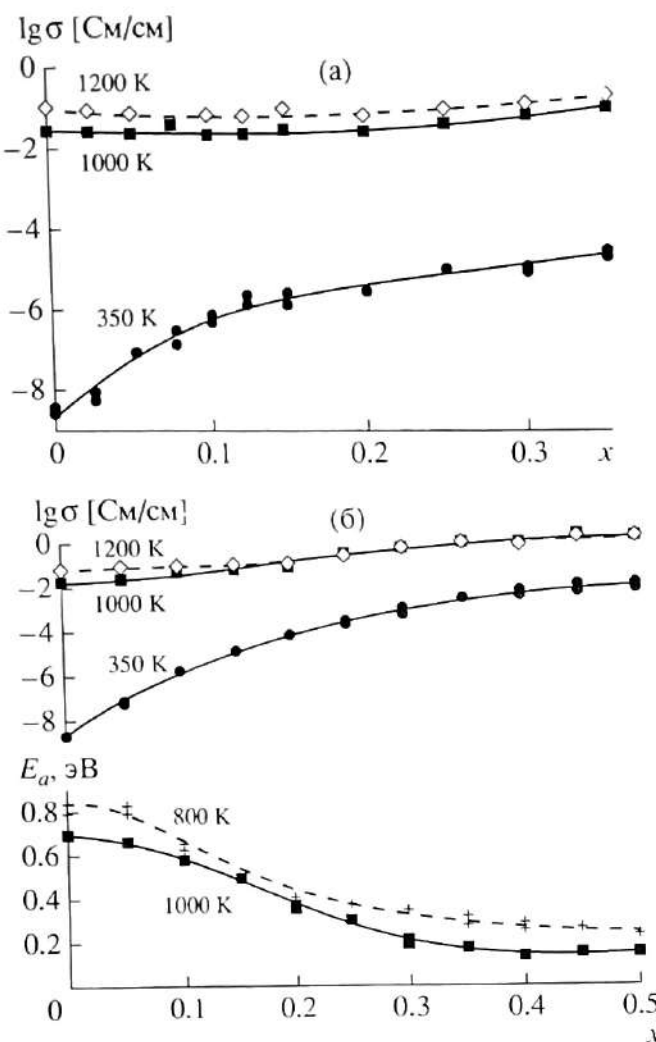


Рис. 5. Концентрационные зависимости электропроводности и энергии активации керамик $(La_{0.9}Sr_{0.1})[(Ga_{1-x}Cr_x)_{0.8}Mg_{0.2}]O_y$ (а) и $(La_{0.9}Sr_{0.1})[(Ga_{1-x}Fe_x)_{0.8}Mg_{0.2}]O_y$ (б), измеренные на частоте 1 кГц при разных температурах.

при комнатной температуре, можно предположить снижение ионной составляющей проводимости $\sigma_{\text{ион}}$ в хромсодержащих твердых растворах по сравнению с $\sigma_{\text{ион}}$ керамики $(La_{0.9}Sr_{0.1})(Ga_{0.8}Mg_{0.2})O_{2.85}$. Кроме того, из сравнения значений электропроводности керамик различных систем можно заключить, что проницаемость по кислороду керамик, легированных катионами хрома, будет ниже, чем у легированных катионами железа или никеля [23–26].

Таким образом, введение хрома обеспечивает ожидаемое повышение электронной составляющей проводимости $\sigma_{\text{эл}}$, однако оно менее выражено в сравнении с изменением $\sigma_{\text{эл}}$, вызываемым замещением катионов галлия катионами железа или никеля. Более того, из данных по уменьшению объема решетки можно сделать вывод о снижении концентрации вакансий кислорода и уменьшении размеров каналов проводимости, определяемых расстоянием между двумя катионами А и одним катионом В. Обе эти тенденции, очевидно, свидетельствуют об ухудшении условий для ион-

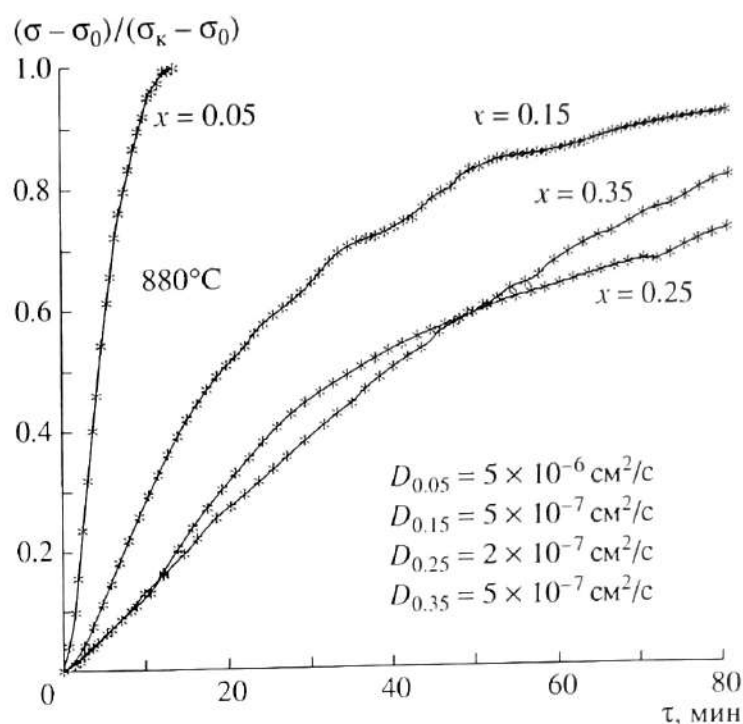


Рис. 6. Относительное изменение электропроводности $\sigma(t)$ керамик $(La_{0.9}Sr_{0.1})[(Ga_{1-x}Cr_x)_{0.8}Mg_{0.2}]O_y$ с $x = 0.05, 0.15, 0.25, 0.35$, измеренной на постоянном токе при смене инертной атмосферы на окислительную.

ного транспорта и должны сопровождаться снижением ионной составляющей проводимости.

ЗАКЛЮЧЕНИЕ

Впервые синтезированы керамические твердые растворы $(La_{0.9}Sr_{0.1})[(Ga_{1-x}Cr_x)_{0.8}Mg_{0.2}]O_{3-\delta}$ ($x = 0-0.35$). Установлено уменьшение объема элементарной ячейки при повышении концентрации хрома, указывающее на степень окисления хрома в твердых растворах 4+ или 5+. Доказано повышение суммарной проводимости при увеличении содержания хрома в решетке за счет увеличения электронной составляющей. На основании полученных данных сделано заключение о понижении ионной составляющей проводимости.

Работа выполнена при финансовой поддержке Российского фонда фундаментальных исследований (проект 04-03-32094).

СПИСОК ЛИТЕРАТУРЫ

1. Hazbun E.A. Ceramic Membrane for Hydrocarbon Conversion: Пат. США 4791079. 1988.
2. Balachandran U., Dusec J.T., Sweeney S.M. et al. Methane Syngas via Ceramic Membranes // Am. Ceram. Soc. Bull. 1995. V. 74. № 1. P. 71–75.
3. Goodenough J.B. Electronic and Ionic Transport Properties and Other Physical Aspects of Perovskites // Rep. Prog. Phys. 2004. V. 67. P. 1915–1993.

4. *Ten Elshof, Bouwmeester H.J.M., Verweij H.* Oxygen Transport through $\text{La}_{1-x}\text{Sr}_x\text{FeO}_3-\delta$ Membranes. I. Permeation in Air/He Gradients // Solid State Ionics. 1995. V. 81. № 1. P. 97–106.
5. *Diethelm S., Sfeir J., Clemens F. et al.* Planar and Tubular Perovskite-Type Membrane Reactors for the Partial Oxidation of Methane to Syngas // J. Solid State Electrochem. 2004. V. 8. № 9. P. 611–617.
6. *Shao Z., Xiong G., Tong J. et al.* Ba Effect on Doped $\text{Sr}(\text{Co}_{0.8}\text{Fe}_{0.2})\text{O}_3-\delta$ on the Phase Structure and Oxygen Permeation Properties of the Dense Ceramic Membranes // Separ. Purif. Technol. 2001. V. 25. P. 419–429.
7. *Wang W., Cong Y., Yang W.* Investigation on the Partial Oxidation of Methane to Syngas in a Tubular $\text{Ba}_{0.5}\text{Sr}_{0.5}\text{Co}_{0.8}\text{Fe}_{0.2}\text{O}_3-\delta$ Membrane Reactor // Catal. Today. 2003. V. 82. P. 157–166.
8. *Yaremchenko A.A., Kharton V.V., Viskup A.P. et al.* Mixed Electronic and Ionic Conductivity of $\text{LaCo}(\text{M})\text{O}_3$ ($\text{M} = \text{Ga, Cr, Fe, Ni}$). V. Oxygen Permeability of Mg-Doped $\text{La}(\text{Ga, Co})\text{O}_3$ – Perovskites // Solid State Ionics. 1999. V. 120. № 1. P. 65–74.
9. *Leonidov I.A., Kozhevnikov V.L., Mitberg E.B. et al.* High-Temperature Electrical Transport in $\text{La}_{0.3}\text{Sr}_{0.7}\text{Fe}_{1-x}\text{Ga}_x\text{O}_3-\delta$ ($x = 0–0.5$) // J. Mater. Chem. 2001. V. 11. № 7. P. 1201–1208.
10. *Tong J., Yang W., Cai R. et al.* Novel and Ideal Zirconium-Based Dense Membrane Reactors for Partial Oxidation of Methane to Syngas // Catal. Lett. 2002. V. 78. № 1–4. P. 129–137.
11. *Ishihara T., Matsuda H., Takita Y.* Doped LaGaO_3 Perovskite Type Oxide as a New Oxide Ionic Conductor // J. Am. Chem. Soc. 1994. V. 116. № 9. P. 3801–3803.
12. *Huang P., Petric A.* Superior Oxygen Ion Conductivity of Lanthanum Gallate Doped with Strontium and Magnesium // J. Electrochem. Soc. 1996. V. 143. № 5. P. 1644–1648.
13. *Huang K., Tichy R., Goodenough J.* Superior Perovskite Oxide-Ion Conductor: Strontium- and Magnesium-Doped LaGaO_3 : I. Phase Relationships and Electrical Properties // J. Am. Ceram. Soc. 1998. V. 81. № 10. P. 2565–2575.
14. *Ishihara T., Yamada T., Arikawa H. et al.* Mixed Electronic-Ionic Conductivity and Oxygen Permeating Property of Fe-, Co-, or Ni-Doped LaGaO_3 Perovskite Oxide // Solid State Ionics. 2000. V. 135. № 2. P. 631–636.
15. *Baker R.T., Gharbage B., Marques F.M.B.* Ionic and Electronic Conduction in Fe and Cr Doped $(\text{La, Sr})\text{GaO}_3-\delta$ // J. Electrochem. Soc. 1997. V. 144. № 9. P. 3130–3134.
16. *Trofimenko N., Ullmann H.* Transition Metal Doped Lanthanum Gallates // Solid State Ionics. 1999. V. 118. № 1. P. 215–227.
17. *Kovalevsky A., Kharton V., Naumovich E. et al.* Ionic Transport in Perovskite-Related Mixed Conductors: Ferrite, Cobaltite-, Nikelate-, and Gallate-Based Systems // NATO Sci. Ser. 2003. V. 173. P. 109–122.
18. *Sammes N.* Structural Property Relationships of the Mixed Electronic/Ionic Conductors Based on Lanthanum Gallate // NATO Sci. Ser. 2003. V. 173. P. 123–136.
19. *Главатских Т.Ю., Венковский Н.У., Калева Г.М. и др.* Синтез, исследование структуры, микроструктуры и электропроводности кислородпроводящей керамики $(\text{La, Sr})(\text{Ga, Mg})\text{O}_3-\delta$ // Неорган. материалы. 2001. Т. 37. № 6. С. 764–768.
20. *Александровский В.В., Венковский Н.У., Калева Г.М. и др.* Фазообразование, микроструктуры и тепловое расширение модифицированной керамики на основе галлата лантана // Неорган. материалы. 2001. Т. 37. № 6. С. 758–763.
21. *Александровский В.В., Аветисов А.К., Венковский Н.У. и др.* Электрические свойства керамики на основе галлата лантана // Тр. V Междунар. конф. "Кристаллы: рост, свойства. Реальная структура, применение" (10–14 сентября). Александров: ВНИИСИМС, 2001. Т. 2. С. 242–250.
22. *Александровский В.В., Венковский Н.У., Калева Г.М. и др.* Высокотемпературный электромассоперенос в перовскитной керамике La-Sr-Ga-Fe-Mg-O // Изв. РАН. Сер. физ. 2001. Т. 65. № 8. С. 1150–1155.
23. *Главатских Т.Ю., Венковский Н.У., Александровский В.В. и др.* Получение и свойства кислород-селективной керамики со смешанной электронно-ионной проводимостью на основе галлата-феррита лантана // Неорган. материалы. 2003. Т. 39. № 7. С. 892–896.
24. *Politova E.D., Stefanovich S.Yu., Avetisov A.K. et al.* Structure, Microstructure and Transport Properties of Mixed Conducting LaGaO_3 -Based Perovskite Ceramics // NATO Sci. Ser. 2003. V. 173. P. 213–218.
25. *Politova E.D., Stefanovich S.Yu., Avetisov A.K. et al.* Processing, Structure, Microstructure and Transport Properties of the Oxygen Conducting Ceramics $(\text{La, Sr})(\text{Ga, M})\text{O}_y$ ($\text{M} = \text{Mg, Fe, Ni}$) // J. Solid State Electrochem. 2004. V. 8. № 9. P. 655–660.
26. *Politova E.D., Stefanovich S.Yu., Aleksandrovskii V.V. et al.* The Lanthanum Gallate Based Mixed Conducting Perovskite Ceramics // Phys. Status Solidi. 2005. V. 2. № 1. P. 196–199.